

торых направлениях наблюдения мы видим свечение центров лишь отдельных ориентаций и соответствующих им слоев (1 и 5). Другие направления дают свечение всех слоев в равных или не равных долях (2-4).

Таким образом, в работе показана возможность и определены условия фотовыжигания стационарных пространственно-периодических структур в анизотропных кристаллах, рассчитаны и исследованы экспериментально свойства таких структур, записанных на центрах окраски. Из полученных данных следует также, что дипольные моменты квантовых переходов в изученных центрах ориентированы под острым углом к оптической оси.

### С п и с о к   л и т е р а т у р ы

- [1] Martynovich E.F., Barushevnikov V.I., Grigorov V.A. // Opt. Commun. V. 53. N 4. P. 257-258.
- [2] Никанович М.В., Умрейко Д.С., Шкада-ревич А.П., Рейтеров В.М., Нижников В.В., Саечников В.А., Ярмолкевич А.Р. // Опт. и спектр. 1986. Т. 60. В. 2. С. 307-312.

Иркутский государственный  
университет

Поступило в Редакцию  
20 февраля 1989 г.

Письма в ЖТФ, том 15, вып. 11

12 июня 1989 г.

05.2; 05.4

### РЕЗОНАНСНОЕ ВОЗБУЖДЕНИЕ ОБМЕННЫХ СПИНОВЫХ ВОЛН В СТРУКТУРЕ ФЕРРИТ-СВЕРХПРОВОДНИК

С.В. М е р и а к р и

В данной работе предлагается метод возбуждения обменных спиновых волн (ОСВ) с помощью решетки вихрей Абрикосова [1] в структуре феррит-сверхпроводник. Волновые векторы  $\vec{q}$  ОСВ составляют  $10^5$ - $10^7 \text{ см}^{-1}$ , что создает значительные сложности возбуждения этих волн. Возбуждение с помощью антенны [2] дает сплошной спектр возбуждаемых ОСВ. Возбуждение волны с заданными параметрами можно осуществить с помощью многополоскового преобразователя [3]. Однако, если длина волны ОСВ становится меньше 2 мкм, то возбуждение таким путем вызывает очень большие технологические сложности. В сверхпроводниках второго рода, помещенных во внешнее магнитное поле  $H_0$  ( $H_{c1} < H_0 < H_{c2}$ , где  $H_{c1}, H_{c2}$  - первое и второе критические поля сверхпроводника), возникают решетки вихревых нитей или вихрей Абрикосова [1]. Расстояние между вихрями  $a$  зависит от  $H_0$  и может составлять от

десятков микрон до десятых и даже сотых долей микрона. То есть волновые векторы обратной решетки вихрей Абрикосова по порядку величины совпадают с волновыми векторами ОСВ, в том числе и с самыми высокими и трудно возбуждаемыми  $\varphi$ . Решетки вихрей Абрикосова представляют собой регулярную периодическую структуру магнитных неоднородностей, периодом которой можно управлять с помощью внешнего магнитного поля [4]. В связи с этим представляет интерес исследование возбуждения и распространения ОСВ в структуре, составленной из сверхпроводника с решеткой вихрей Абрикосова и феррита. В этом случае сверхпроводник с решеткой вихрей будет в каком-то смысле аналогом многополоскового преобразователя с управляемым внешним магнитным полем расстоянием между полосками. Минимальный размер между магнитными неоднородностями в этом случае может быть сделан очень малым, технологически почти невоспроизводимым другими методами (фотолитография).

Рассмотрено возбуждение ОСВ в структуре, состоящей из полу бесконечного сверхпроводника второго рода, граничащего с полу бесконечным ферритом. Вся система помещена во внешнее магнитное поле  $H_0$  ( $0, 0, H_0$ ), постоянное и однородное, нормальное к поверхности раздела сред ( $H_{C1} < H_0 < H_{C2}$ ). Исследуем оба возможных случая: когда в сверхпроводнике реализуется а) треугольная решетка вихрей (базисные вектора обратной решетки вихрей  $\vec{A} = \frac{2\pi}{a} \vec{i}$ ,  $\vec{B} = \frac{2\pi}{a} \left( \vec{i} - \frac{1}{\sqrt{3}} \vec{j} \right)$ , б) квадратная решетка вихрей (базисные вектора обратной решетки  $\vec{A} = \frac{2\pi}{a} \vec{i}$ ,  $\vec{B} = \frac{2\pi}{a} \vec{j}$ ). ОСВ возбуждается перемен-

ным однородным внешним магнитным полем  $\vec{h}_0 = h_0 \vec{k}$ , параллельным границе раздела сред,  $\vec{h}_0$  ( $0, h_0, 0$ ),  $h_0 \ll H_0$ . ОСВ распространяется вдоль оси  $Ox$  с частотой  $\omega$  и волновым вектором  $\varphi$ . Отметим, что все возможные размеры неоднородностей поля, в частности, вызванные конечными размерами образца, на много порядков больше  $a$ . Поэтому можно считать, что возбуждение однородно вдоль всего образца и волновой вектор  $\varphi$  равен базисному вектору обратной решетки вихрей вдоль оси  $Ox$ ,  $|\vec{\varphi}| = |G_{10}| = |G_{11}| = G_{11} = \sqrt{A^2 + K^2 B^2}, K, I = 0, 1, 2, 3 \dots$ . Можно показать, кроме того, что гармоники с более высокими  $K, I$  будут возбуждаться слабее. В сверхпроводнике используются уравнения Элиашберга [5] – нестационарное обобщение уравнений Гинзбурга–Ландау. Приближение и метод расчета аналогичен работе [6], в которой исследовано возбуждение и детектирование акустических и магнитостатических волн на границе сверхпроводника второго рода и вакуума. Решение уравнений Элиашберга ищется в виде разложения по векторам обратной решетки вихрей с учетом сказанного выше. В феррите используются уравнения Ландау–Лифшица с учетом обменного и дипольного взаимодействий. На границе раздела сред (плоскость  $Z = 0$ ) используем граничные условия электродинамики, граничные условия для нестационарных уравнений сверхпроводимости [5], обменные граничные условия для нормально намагниченной пленки

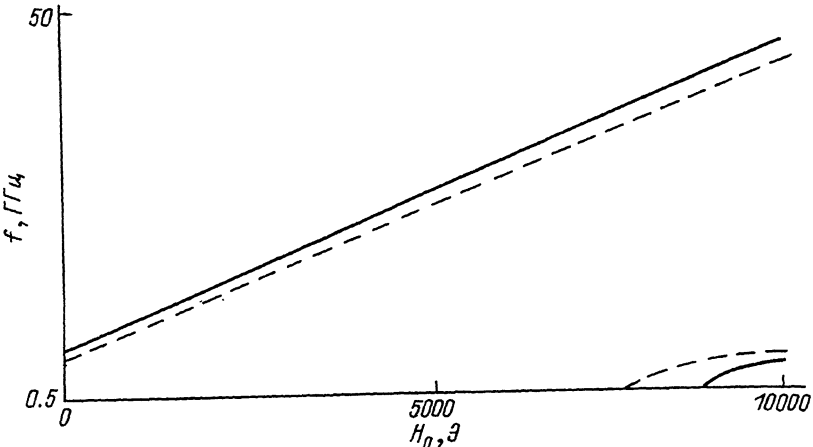


Рис. 1. График закона дисперсии ОСВ в структуре ЖИГ-сверхпроводник с треугольной решеткой (сплошная линия) и квадратной решеткой вихревых нитей (пунктир).  $4\pi M_0 = 1750 \text{ Оe}$ ,  $2\pi \omega = 3.1 \times 10^{11} \text{ см}^2$ ,  $\sigma = 10^{17} \text{ с}^{-1}$ ,  $\lambda = 2500 \text{ \AA}$ ,  $\Lambda = 1$ .

[7]:  $\Lambda \frac{\partial \vec{m}}{\partial Z} + \vec{m} = 0$ , где  $\vec{m}$  – вектор намагниченности ОСВ,  $\Lambda$  – параметр закрепления спинов на поверхности феррита. Из системы граничных условий и решения соответствующих уравнений в каждой среде получим следующее выражение для амплитуды вектора магнитного поля ОСВ  $h_B^{(n)}$  в плоскости  $Z = 0$ :

$$h_B^{(n)}|_{Z=0} = (h_{Z1}^{(n)} + h_{Z2}^{(n)} + h_{Z3}^{(n)})|_{Z=0} = h_0 \cdot \frac{q^6 \sum'}{4\pi^4} \cdot \frac{f_1 + f_2 + f_3}{\beta_1 f_1 + \beta_2 f_2 + \beta_3 f_3}. \quad (1)$$

$$\text{Здесь } f_1 = (d_2^2 - d_3^2)(\Lambda d_2 + 1)(\Lambda d_3 + 1)(\Omega^2 - \Omega_H^{(1)2}), \quad (2)$$

а остальные  $f_n$  получаются из  $f_1$  круговой перестановкой индексов  $1 \rightarrow 2 \rightarrow 3$ ,  $\beta_n = i d_n \rho_{10} - q^2$ ,  $n = 1, 2, 3$ , где  $\Omega = 2\omega/\omega_H$ ,  $\Omega_H^{(1)} = \Omega_H^+ + \omega(d_2^2 - d_3^2)$ ,  $\omega_H = \gamma H_0$  – частота ферромагнитного резонанса,  $2\pi \omega$ ,  $4\pi M_0$  – обменная постоянная феррита и его намагниченность насыщения,  $\gamma = 2.83 \text{ МГц/Э}$  – гиромагнитное отношение,  $d_n$  – волновые числа по толщине ОСВ в феррите,  $d_n$  – находятся из характеристического уравнения ОСВ в нормально намагниченном феррите [8];  $h_{Zn}^{(n)}$  – амплитуды векторов магнитного поля для гармоник ОСВ с соответствующим  $d_n$ .

$$\sum' = \sum_{K,L} \frac{Q_{KL}^Y \cdot Q_{KL}^Y}{d_{KL}^2 - \rho_{10}^2}; Q_{KL}^Y = \frac{G_{KL}^X \cdot \lambda}{1 + (\lambda G_{KL})^2} J_0 \left( \frac{G_{KL} \lambda}{\alpha} \right),$$

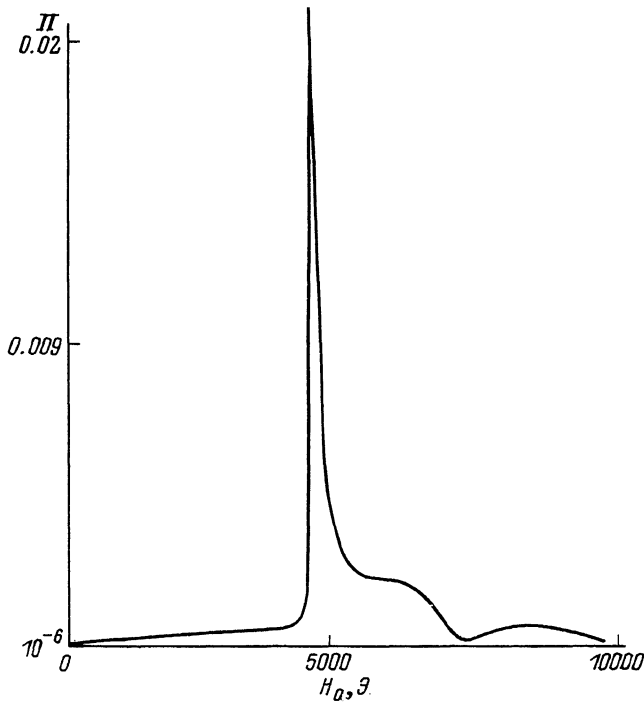


Рис. 2. Зависимость коэффициента преобразования  $\Pi = h_z^{10} / h_0$  в структуре ЖИГ-сверхпроводник с гексагональной решеткой вихрей на частоте 25 ГГц.  $4\pi M_0 = 1750$  Э,  $2\pi\alpha = 3.1 \cdot 10^{-11}$  см<sup>2</sup>,  $\sigma = 10^{17}$  с<sup>-1</sup>,  $\lambda = 2500$  Å,  $\Lambda = 1$ .

$Q_{KL}$  – пропорциональны Фурье компонентам векторного потенциала статического магнитного поля сверхпроводника, создаваемого соответствующей решеткой вихрей [6].  $P_{KL}$  и  $d_{KL}$  – волновые числа по толщине  $K, l$ . Фурье компонент для нестационарных частей векторного потенциала и параметра порядка сверхпроводника соответственно:

$$P_{KL}^2 = -(-2i\delta_{\text{скин}}^{-2} + \rho^{-2} + G_{KL}^2); d_{KL}^2 = -(24i\delta_{\text{скин}}^{-2}\alpha^2 + G_{KL}^2 + 3\lambda^{-2}\alpha^2).$$

Здесь  $\delta_{\text{скин}}$  – склоновая глубина проникновения электромагнитного поля в сверхпроводник,  $\delta_{\text{скин}}^{-2} = 2\pi\sigma\omega/c^2$ ,  $\sigma$  – проводимость нормальных электронов сверхпроводника,  $c$  – скорость света,  $\lambda$  – лондоновская глубина проникновения магнитного поля в сверхпроводник,  $\alpha$  – параметр Гинзбурга–Ландау сверхпроводника,  $\alpha = \lambda/\xi$ ,  $\xi$  – длина когерентности сверхпроводника. При выводе (1)  $a$  определялось из условия  $B_z = \Phi_0/a^2$ , где  $B_z$  – статическая магнитная индукция вдоль оси – единичный квант магнитного пото-

ка,  $\varphi = 2/\sqrt{3}$  для треугольной решетки вихрей и  $\varphi = 1$  для квадратной решетки вихрей [4]. Температура равна критической температуре сверхпроводящего перехода.

Возбужденная ОСВ имеет компоненты магнитного поля  $h_z$  и  $h_x$  и компоненты вектора намагниченности  $m_x$  и  $m_y$ . Так как амплитуда  $h_z^{(0)} = h_x^{(0)}$ , то волна будет стоячей. Амплитуда сравнительно мала везде, кроме значений  $\omega$  и  $H_0$ , при которых выполняется условие

$$\beta_1 f_1 + \beta_2 f_2 + \beta_3 f_3 \approx 0. \quad (2)$$

Условие (2) соответствует закону дисперсии ОСВ в структуре феррит-сверхпроводник с соответствующей решеткой вихревых нитей (см. рис. 1). Вблизи точек, где выполняется (2), амплитуда возбуждаемой переменным магнитным полем ОСВ резко резонансно возрастает. На рис. 2 представлена зависимость коэффициента преобразования  $\Pi = h_z^{(0)}/h_0$  от внешнего поля  $H_0$  на частоте 25 ГГц. Из рисунка видно резкое возрастание  $\Pi$  вблизи значения  $H_0$ , при котором на частоте 25 ГГц выполняется (2).

Рассмотрим теперь структуру, в которой размер сверхпроводника вдоль оси  $\vec{O}X$  меньше соответствующего размера феррита. Пусть  $\omega = \omega_{(1)}$ , а  $H_0 = H_0^{(1)}$ , причем  $\omega_{(1)}$  и  $H_0^{(1)}$  таковы, что выполняется закон дисперсии ОСВ для полубесконечного феррита:

$$\sum_{n=1}^3 (d_n + g) f_n = 0. \quad (3)$$

Тогда по свободной от сверхпроводника части феррита в обе стороны от той части феррита, с которой граничит сверхпроводник, будет распространяться бегущая ОСВ с частотой  $\omega_{(1)}$  и волновым вектором  $g(H_0^{(1)})$ . Если  $\omega_{(1)}$  и  $H_0^{(1)}$  близки к значениям  $\omega$  и  $H_0$ , при которых выполняется (2), то амплитуда возбуждаемой переменным магнитным полем бегущей в феррите ОСВ будет достаточно велика. Численный расчет показывает, что  $\omega_{(1)}$  и  $H_0^{(1)}$  достаточно близки к значениям  $\omega$  и  $g(H_0)$ , при которых выполняется (2).

Таким образом, мы видим, что вблизи  $\omega$  и  $H_0$ , удовлетворяющих (2), можно возбуждать ОСВ в структуре феррит-сверхпроводник достаточно эффективно с помощью переменного внешнего магнитного поля.

В заключение хочу выразить благодарность П.Е. Зильберману за многочисленные обсуждения и интерес к работе, а также В.Г. Шишкому за помощь в расчетах на ЭВМ.

#### Список литературы

- [1] Абрикосов А.А. // ЖЭТФ. 1957. Т. 32. В. 6. С. 1442-1452.
- [2] Зильберман П.Е., Шишков В.Г. // Тезисы XI Всесоюзной школы-семинара „Новые магнитные материалы для микроэлектроники”. Ташкент. 1988. С. 164-165.

- [3] Гилинский И.А., Щеглов И.М. Препринт № 17. Новосибирск. ИФП СО АН СССР. 1987.
- [4] Ден Жен П.Ж. Сверхпроводимость металлов и сплавов. М.: Мир. 1968.
- [5] Горьков Л.П., Элиашберг Г.М. // ЖЭТФ. 1968. Т. 54. В. 2. С. 612-626.
- [6] Царевский С.Л. // ЖЭТФ. 1987. Т. 92. В. 5. С. 1903-1910.
- [7] Суху Р. Магнитные тонкие пленки. М.: Мир. 1967.
- [8] Филиппов Б.Н. Препринт № 80/1. Свердловск. ИФМ УНЦ АН СССР. 1980.

Институт радиотехники  
и электроники АН СССР

Поступило в Редакцию  
6 апреля 1989 г.

Письма в ЖТФ, том 15, вып. 11

12 июня 1989 г.

11; 12

## ОПРЕДЕЛЕНИЕ СОСТАВА ЭПИТАКСИАЛЬНЫХ ПЛЕНОК ФЕРРИТ-ГРАНАТОВ МЕТОДОМ РОР

Е.Ю. Боярко, И.Е. Буркова,  
И.В. Евдокимов, О.Н. Дикарев,  
Ю.Ю. Крючков, В.М. Малютин

За последние десятилетия оптические системы связи завоевали прочное место на мировом рынке. Этот успех обусловлен развитием и внедрением разнообразной по функциональным возможностям элементной базы, особое место в которой занимают устройства на основе магнитооптических явлений. В первую очередь к ним относятся оптические вентили, циркуляторы и переключатели. Эти устройства объединяет наличие фарадеевского элемента, изготавливаемого с помощью прогрессивной технологии эпитаксиального выращивания монокристаллических пленок, замещенных редкоземельными элементами феррит-гранатов иттрия. Такая технология позволяет синтезировать эпитаксиальные структуры с заранее заданными магнитооптическими характеристиками. Однако для прогнозирования этих характеристик необходимо точно определять и контролировать состав пленок.

В данной работе изучалась возможность использования метода обратного резерфордовского рассеяния ионов (РОР) для определения состава эпитаксиальных пленок феррит-гранатов и их однородности по глубине. Экспериментальные исследования проводились на циклотроне У-120 НИИ ЯФ при Томском политехническом институте. В качестве анализирующего использовался пучок ионов  $^{4}\text{He}^{+}$  с энергией  $E_0 = 4.5\text{-}5 \text{ МэВ}$  и энергетическим разбросом в пучке